

การดังเคราะห์พอดิเมอร์อิพอกซ์ที่มีโอหะเป็นส่วนประกอบ



นายแพน ทองเรือง

สถาบันวิทยบริการ
อุดมศึกษาเพื่ออาชญาลัย
วิทยานิพนธ์ฉบับนี้เป็นส่วนหนึ่งของการศึกษาตามหลักสูตรปริญญาวิทยาศาสตร์มหาบัณฑิต
สาขาวิชาเคมี ภาควิชาเคมี
นักศึกษาวิทยาลัย คุณธงกรณ์มหาวิทยาลัย
ปีการศึกษา 2540
ISBN 974-697-183-0
จัดทำขึ้นโดยนักศึกษาวิทยาลัย คุณธงกรณ์มหาวิทยาลัย

SYNTHESIS OF METAL-CONTAINING EPOXY POLYMERS

Mr. Pan Tongraung

A Thesis Summited in Partial Fulfillment of the Requirements

for the Degree of Master of Science in Chemistry

Department of Chemistry

Graduate School

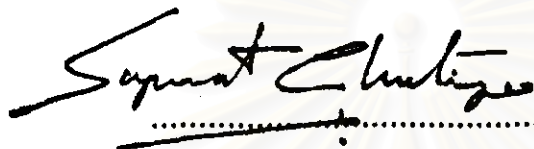
Chulalongkorn University

Academic Year 1997

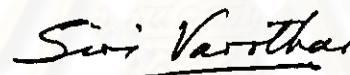
ISBN 974-637-133-9

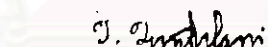
Thesis Title Synthesis of metal-containing epoxy polymers
By Mr. Pan Tongraung
Department Chemistry
Thesis Advisor Thawatchai Tuntulani, Ph.D.
Co-advisor Nuanphun Chantarasiri, Ph.D.

Accepted by the Graduate School, Chulalongkorn University
in Partial Fulfillment of the Requirements for the Master's Degree.


.....Dean of Graduate School
(Professor Supawat Chutivongse, M.D.)

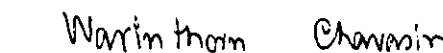
Thesis Committee


.....Chairman
(Associate Professor Siri Varothai, Ph.D.)


.....Thesis Advisor
(Thawatchai Tuntulani, Ph.D.)


.....Co-advisor
(Nuanphun Chantarasiri, Ph.D.)


.....Member
(Assistant Professor Wimonrat Trakarnpruk, Ph.D.)


.....Member
(Assistant Professor Warinthorn Chavasiri, Ph.D.)

พิมพ์ด้นฉบับนักคดีอวิทยานิพนธ์ภาษาไทยในกรอบสีเขียวที่พิมพ์แล้วเดียว

แผน ห้องเรื่อง : การสังเคราะห์พอลิเมอร์อีพอกซี่ที่มีไทดะเป็นส่วนประกอบ
(SYNTHESIS OF METAL-CONTAINING EPOXY POLYMERS) ช. ที่ปรึกษา :

ดร. ชัยชัย ตันยวานิ, อ. ที่ปรึกษาร่วม : อ. ดร. นวลดพรัตน์ จันทร์ศรี, 89 หน้า.

ISBN 974-637-133-9

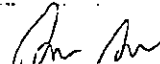
ได้สังเคราะห์สารประกอบเชิงชั้นของไคนอตต์, นิกเกิล, ทองแดงและสังกะสี เพื่อใช้เป็นสารเชื่อมหัวหัวน้ำสังเคราะห์พอลิเมอร์อีพอกซี่ที่มีไทดะเป็นส่วนประกอบ ในการสังเคราะห์สารประกอบเชิงชั้น ได้ใช้สารประกอบของไทดะอะซีเตทและไทดะซัลเฟตในน้ำ ทำปฏิกิริยา กับ 2,4-ไดไซครอกซีบีนซัลฟิดไฮคล์ และ 1,3-ไดอะมินไทรเพนในแม่น้ำ สารประกอบของไทดะอะซีเตทได้ผลิตภัณฑ์มากกว่าและมีความเสถียรสูงกว่าสารประกอบของไทดะซัลฟิด การตรวจสอบสารประกอบเชิงชั้นของไทดะเหล่านี้ทำได้โดยใช้อินฟราเรดเป็นไทรท์วิเคราะห์ชาตุรงค์ประกอบ การสังเคราะห์พอลิเมอร์อีพอกซี่ที่มีไทดะเป็นส่วนประกอบ ทำได้โดยการทำปฏิกิริยาเชื่อมหัวหัวของไทดะดิสเทอเรอ บีสฟีโนตอ (ดีจีบีเอ) โดยใช้สารประกอบเชิงชั้นของไทดะเป็นสารเชื่อมหัวหัว การตรวจสอบสมบัติของพอลิเมอร์ที่มีไทดะเป็นส่วนประกอบทำได้โดยใช้ Dynamic Mechanical Analysis (DMA), Differential Scanning Calorimetry (DSC) และ Thermogravimetry Analysis (TGA) พอลิเมอร์อีพอกซี่ที่มีทองแดงเป็นส่วนประกอบจะให้ค่า glass transition temperature (T_g) สูงถึง 162°C และอุณหภูมิที่ทำให้น้ำหนักของพอลิเมอร์หายไปร้อยละ 30 สูงถึง 432°C ในขณะที่พอลิเมอร์อีพอกซี่ที่มีนิกเกิลเป็นส่วนประกอบจะมีความเสถียรสูงที่สุดจากการที่น้ำหนักของพอลิเมอร์ ลดลงเร็วไปน้อยกว่าร้อยละ 3 ภายใน อุณหภูมิ 245°C เป็นเวลา 48 ชั่วโมง อัตราการเกิดปฏิกิริยาเชื่อมหัวหัวของสารประกอบเชิงชั้นกับดีจีบีเอเปรียบเทียบกับสารเชื่อมหัวหัวประเภทฟีโนตอได้แก่ 2,7-ไดไซครอกซีแนฟกาลีนและบีสฟีโนตอ พบว่า ปฏิกิริยาเชื่อมหัวหัวของดีจีบีเอกับฟีโนตอทั้งสองชนิดนี้เกิดช้ากว่าปฏิกิริยาเชื่อมหัวหัวของดีจีบีเอกับสารประกอบเชิงชั้นของไทดะ นอกจากนี้พอลิเมอร์ที่ได้บังมีคุณสมบัติทางความร้อนทึบกว่าพอลิเมอร์ที่มีไทดะเป็นส่วนประกอบด้วย

จุฬาลงกรณ์มหาวิทยาลัย

ภาควิชา...เคมี

สาขาวิชา...เคมี

ปีการศึกษา ๒๕๔๐

ตามนัดชื่อนี้ได้ 

ตามนัดชื่ออาจารย์ที่ปรึกษา พ.ร.บ. พ.ศ. ๒๕๔๐

หมายเหตุ: ข้อมูลนี้ได้รับการยืนยันแล้ว ๖๖๘๗๙ ๑๖๖๓๒

พิมพ์ที่ด้านบนบกตปดวิทยานิพนธ์ภายในกรอบอีชีบันเน็ตบล็อกแม่นเดียว

C825240 : MAJOR CHEMISTRY

KEY WORD: EPOXY RESIN/EPOXY POLYMERS/METAL-CONTAINING

EPOXY POLYMERS

PAN TONGRAUNG : SYNTHESIS OF METAL-CONTAINING EPOXY POLYMERS :

THESIS ADVISOR : THAWATCHAI TUNTULANI, Ph. D. : THESIS CO-ADVISOR :

NUANPHUN CHANTARASIRI, Ph. D. 89 pp. ISBN 974-637-133-9

Cobalt, nickel, copper and zinc tetradentate Schiff's base complexes have been synthesized and used as crosslinking agents for the synthesis of metal containing epoxy polymers. The metal complexes have been synthesized by adding aqueous solutions of metal acetates or metal sulfates into methanolic solutions of 2,4-dihydroxybenzaldehyde and 1,3-diaminopropane. The metal complexes made from metal acetates are more stable and can be obtained in higher yields than complexes made from metal sulfates. The metal complexes were identified by elemental analysis and IR spectroscopy. Metal containing epoxy polymers have been synthesized by crosslinking of diglycidyl ether of bisphenol A (DGEBA) with the aforementioned metal complexes. The properties of metal containing epoxy polymers were investigated by Dynamic Mechanical Analysis (DMA), Differential Scanning Calorimetry (DSC) and Thermogravimetry Analysis (TGA). Cu-containing epoxy polymer has glass transition temperature (T_g) values up to 162 °C and the temperature at the 30 % weight loss up to 432 °C. Ni-containing epoxy polymer has the highest thermal stability accounting from the weight loss of less than 3% upon heating at 245 °C for 48 hours. The reactivity of the metal complexes was compared with 2,7-dihydroxynaphthalene and bisphenol A. The crosslinking reactions between DGEBA and 2,7-dihydroxynaphthalene and bisphenol A were slower than the crosslinking reactions between DGEBA and the metal complexes. The thermal properties of epoxy polymers using 2,7-dihydroxynaphthalene and bisphenol A are also poorer than those of metal containing epoxy polymers.

สถาบันวิทยบริการ
จุฬาลงกรณ์มหาวิทยาลัย

ภาควิชา เคมี

สาขาวิชา เคมี

อาจารย์ชื่อโนนิสิต Dr. Dr.

อาจารย์ชื่ออาจารย์ที่ปรึกษา รศ.ดร. นันทกานต์

ACKNOWLEDGEMENTS

I would like to express my sincerest gratitude to Dr. Thawatchai Tuntulani, Dr. Nuanphun Chantarasiri and Assoc. Prof. Dr. Ratana Seangprasertkij-Magee for their kindness, guidance, suggestions and assistance throughout the course of this thesis. I am very obliged to Assoc. Prof. Dr. Siri Varothai, Asst. Prof. Dr. Wimonrat Trakarnpruk and Asst. Prof. Dr. Warinthorn Chavasiri for their valuable suggestions as thesis examiners.

This thesis could not have been completed without the generous help of the following people; faculties and staffs in the Department of Chemistry, Chulalongkorn University, staffs in the Scientific and Technological Research Equipment Center of Chulalongkorn University and Dr. M.F. Grenier-Loustalot of the Seroice Central D'analyse, CNRS, Lyon, France.

Finally, I would like to thank the Thailand Research Fund for financial support of this project.

สถาบันวิทยบริการ
จุฬาลงกรณ์มหาวิทยาลัย

CONTENTS

	Page
Abstract in Thai	iv
Abstract in English.....	v
Acknowledgements.....	vi
List of Figures.....	ix
List of Tables.....	xiii
List of Schemes.....	xiv
List of Abbreviations.....	xv
CHAPTER I INTRODUCTION.....	1
1.1 Heat-Resistance Polymers.....	1
1.2 Epoxy Polymers.....	4
1.2.1 Phenolic Crosslinking Agents	6
1.2.2 Phenol-Formaldehyde Crosslinking Agents.....	7
1.3 Tetridentate Schiff's Base Complexes.....	10
1.4 Objective and Scope of the Research.....	12
CHAPTER II EXPERIMENTAL.....	14
2.1 Materials.....	14
2.2 Analytical Procedures.....	14
2.3 Synthetic Procedures.....	14
2.3.1 Preparation of 4-Hydroxy-salen.....	15
2.3.2 Preparation of the Cu-1 Complex.....	15
2.3.3 Preparation of the Ni-1 Complex.....	15
2.3.4 Preparation of the Co-1 Complex.....	16
2.3.5 Preparation of Cobalt-Containing Epoxy Polymer.....	16
2.3.6 Preparation of Nickel-Containing Epoxy Polymer.....	16
2.3.7 Preparation of Copper-Containing Epoxy polymer.....	17

CHAPTER III RESULTS AND DISCUSSION.....	18
3.1 Synthesis of Tetridentates Schiff's Base Ligand.....	18
3.2 Synthesis of Tetridentates Schiff's Base Metal Complexes.....	21
3.3 Crosslinking Reaction of DGEBA Epoxy Resin with Tetridentate Schiff's Base Metal Complexes	26
CHAPTER IV CONCLUSIONS.....	50
REFERENCES.....	51
APPENDIXES.....	53
CURRICULUM VITAE.....	89

สถาบันวิทยบริการ
จุฬาลงกรณ์มหาวิทยาลัย

LIST OF FIGURE

	Page
Figure 1 Structure of Cu(trien)(OHC ₆ H ₄ COO) ₂	8
Figure 2a Selected polyazomethines for their metal modification.....	11
Figure 2b Structural modification introduced by metals depending on the geometry of the central core.....	12
Figure 3 Structure of the metal complexes.....	18
Figure 4 DSC thermogram of mixture Co-1 with DGEBA at 1:6 ratio Co-1: DGEBA.....	27
Figure 5 DSC thermogram of mixture Ni-1 with DGEBA at 1:6 ratio Ni-1: DGEBA.....	28
Figure 6 DSC thermogram of mixture Cu-1 with DGEBA at 1:6 ratio Cu-1: DGEBA.....	29
Figure 7 Isothermal (200°C) DSC thermogram of the mixture of Cu-1 and DGEBA at Cu-1:DGEBA ratio of 1:6.....	31
Figure 8 Isothermal (200°C) DSC thermogram of the mixture of Cu-1 and DGEBA at Cu-1:DGEBA ratio of 1:1.67.....	32
Figure 9 Isothermal (200°C) DSC thermogram of the mixture of Co-1 and DGEBA at Co-1:DGEBA ratio of 1:6.....	33
Figure 10 Isothermal (200°C) DSC thermogram of the mixture of Co-1 and DGEBA at Co-1:DGEBA ratio of 1:1.67.....	34
Figure 11 Isothermal (250°C) DSC thermogram of the mixture of Ni-1 and DGEBA at Ni-1:DGEBA ratio of 1:6.....	35
Figure 12 Isothermal (250°C) DSC thermogram of the mixture of Ni-1 and DGEBA at Ni-1:DGEBA ratio of 1:1.67.....	36
Figure 13 Relationship between T _g values of Co-containing epoxy polymers and mole ratio of Co-1:DGEBA.....	40
Figure 14 Relationship between T _g values of Ni-containing epoxy polymers and mole ratio of Ni-1:DGEBA.....	41

Figure 15 Relationship between T_g values of Cu-containing epoxy polymers and mole ratio of Cu-1:DGEBA.....	42
Figure 16 TGA thermogram of Cu-containing epoxy polymer at Cu-1:DGEBA ratio of 1:1.67.....	44
Figure 18 Isothermal (250°C) DSC thermogram of the mixture 2,7-dihydroxynaphthalene with DGEBA at 2,7-dihydroxynaphthalene :DGEBA ratio of 1:1.67.....	48
Figure 17 Isothermal (250°C) DSC thermogram of the mixture bisphenol A with DGEBA at bisphenol A:DGEBA ratio of 1:1.67.....	49
Figure A. 1 IR spectrum of Co-1 complex.....	54
Figure A. 2 IR spectrum of Ni-1 complex.....	55
Figure A. 3 IR spectrum of Cu-1 complex.....	56
Figure A. 4 IR spectrum of Zn-1 complex.....	57
Figure A. 5 IR spectrum of DGEBA.....	58
Figure A. 6 IR spectrum of Co-containing epoxy polymer at Co-1:DGEBA ratio of 1:6.....	59
Figure A. 7 IR spectrum of Co-containing epoxy polymer at Co-1:DGEBA ratio of 1:4.....	60
Figure A. 8 IR spectrum of Co-containing epoxy polymer at Co-1:DGEBA ratio of 1:2.....	61
Figure A. 9 IR spectrum of Co-containing epoxy polymer at Co-1:DGEBA ratio of 1:1.67.....	62
Figure A. 10 IR spectrum of Ni-containing epoxy polymer at Ni-1:DGEBA ratio of 1:6.....	63
Figure A. 11 IR spectrum of Ni-containing epoxy polymer at Ni-1:DGEBA ratio of 1:4.....	64
Figure A. 12 IR spectrum of Ni-containing epoxy polymer at Ni-1:DGEBA ratio of 1:2.....	65
Figure A. 13 IR spectrum of Ni-containing epoxy polymer at Ni-1:DGEBA ratio of 1:1.67.....	66

Figure A. 14 IR spectrum of Ni-containing epoxy polymer at Ni-1:DGEBA ratio of 1:1.....	67
Figure A. 15 IR spectrum of Cu-containing epoxy polymer at Cu-1:DGEBA ratio of 1:6.....	68
Figure A. 16 IR spectrum of Cu-containing epoxy polymer at Cu-1:DGEBA ratio of 1:4.....	69
Figure A. 17 IR spectrum of Cu-containing epoxy polymer at Cu-1:DGEBA ratio of 1:2.....	70
Figure A. 18 IR spectrum of Cu-containing epoxy polymer at Cu-1:DGEBA ratio of 1:1.67.....	71
Figure A. 19 DMA thermogram of Co-containing epoxy polymer at Co-1:DGEBA ratio of 1:1.67.....	72
Figure A. 20 DMA thermogram of Ni-containing epoxy polymer at Ni-1:DGEBA ratio of 1:1.67.....	73
Figure A. 21 DMA thermogram of Ni-containing epoxy polymer at Ni-1:DGEBA ratio of 1:1.....	74
Figure A. 22 DMA thermogram of Cu-containing epoxy polymer at Cu-1:DGEBA ratio of 1:2.....	75
Figure A. 23 DMA thermogram of Cu-containing epoxy polymer at Cu-1:DGEBA ratio of 1:1.67.....	76
Figure A. 24 TGA thermogram of Co-containing epoxy polymer at Co-1:DGEBA ratio of 1:6.....	77
Figure A. 25 TGA thermogram of Co-containing epoxy polymer at Co-1:DGEBA ratio of 1:4.....	78
Figure A. 26 TGA thermogram of Co-containing epoxy polymer at Co-1:DGEBA ratio of 1:2.....	79
Figure A. 27 TGA thermogram of Co-containing epoxy polymer at Co-1:DGEBA ratio of 1:1.67.....	80
Figure A. 28 TGA thermogram of Ni-containing epoxy polymer at Ni-1:DGEBA ratio of 1:6.....	81

Figure A. 29 TGA thermogram of Ni-containing epoxy polymer at Ni-1:DGEBA ratio of 1:4.....	82
Figure A. 30 TGA thermogram of Ni-containing epoxy polymer at Ni-1:DGEBA ratio of 1:2.....	83
Figure A. 31 TGA thermogram of Ni-containing epoxy polymer at Ni-1:DGEBA ratio of 1:1.67.....	84
Figure A. 32 TGA thermogram of Ni-containing epoxy polymer at Ni-1:DGEBA ratio of 1:1.....	85
Figure A. 33 TGA thermogram of Cu-containing epoxy polymer at Cu-1:DGEBA ratio of 1:6.....	86
Figure A. 34 TGA thermogram of Cu-containing epoxy polymer at Cu-1:DGEBA ratio of 1:4.....	87
Figure A. 35 TGA thermogram of Cu-containing epoxy polymer at Cu-1:DGEBA ratio of 1:2.....	88

LIST OF SCHEMES

	Page
Scheme 1 Synthesis of inorganic polymers.....	2
Scheme 2 Synthesis of phthalocyanine containing polymer.....	4
Scheme 3 Synthesis of epoxy resin.....	5
Scheme 4 Crosslinking reactions of DGEBA with amine.....	5
Scheme 5 Crosslinking reactions of DGEBA with phenol.....	6
Scheme 6 Possible mechanisms of crosslinking	
reaction of DGEBA with a metal complex.....	9
Scheme 7 The reaction of tetradentate Schiff's base ligands.....	10
Scheme 8 Syntheses of metal-containing epoxy polymers.....	13
Scheme 9 Synthesis of 1,2-Bis-(2-hydroxy-3-methylbenzylideneamino)-benzene....	19
Scheme 10 Synthesis of ligand (1).....	20
Scheme 11 Decomposition reaction of ligand (1).....	21
Scheme 12 Synthesis of complexes using metal sulfates.....	22
Scheme 13 Protonation of Schiff's base metal complexes by H₂SO₄	23
Scheme 14 Possible mechanism of the reaction of metal complexes with DGEBA..	37



LIST OF ABBREVIATIONS

D.E.R.	Dow Epoxy Resin
DGEBA	Diglycidyl ether of bisphenol A
DMA	Dynamic Mechanical Analysis
DSC	Differential Scanning Calorimetry
TGA	Thermogravimetry Analysis
T _g	Glass transition temperature

สถาบันวิทยบริการ
จุฬาลงกรณ์มหาวิทยาลัย